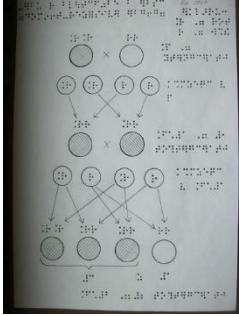
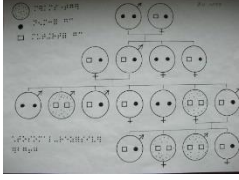
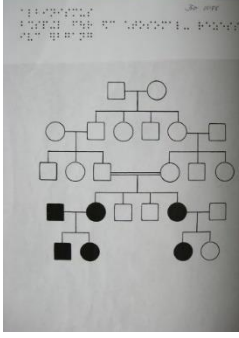
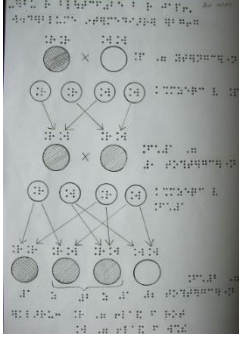
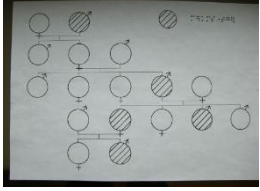
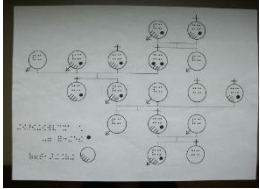
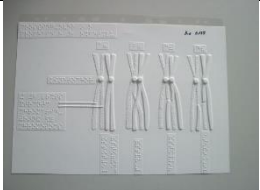
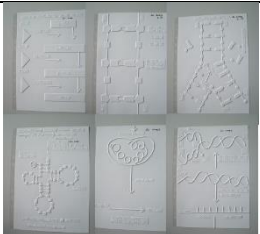
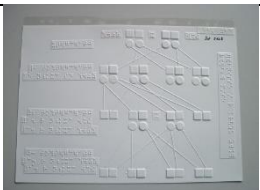


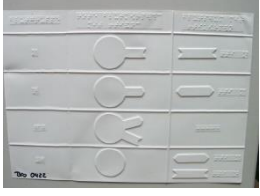
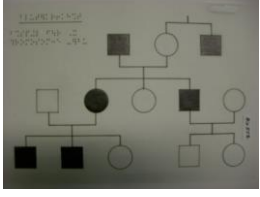
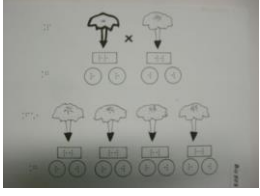
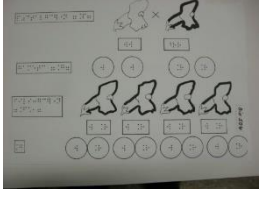
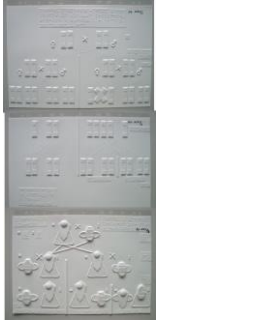
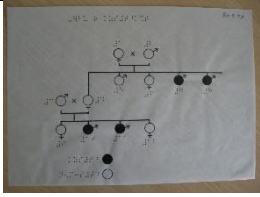
TOB0002 Genetik

Inhalt

Signatur	Titel	Bild
BIO0060	Vererbung der Blütenfarbe bei Erbsen	 A genetic cross diagram showing the inheritance of flower color in pea plants. It starts with a cross between a purple-flowered plant (homozygous dominant) and a white-flowered plant (homozygous recessive). The first generation (F1) consists of all purple-flowered plants (heterozygous). A cross between two F1 plants results in a second generation (F2) with a 3:1 phenotypic ratio of purple to white flowers.
BIO0077	Autosomalrezessiver Erbgang	 A pedigree chart illustrating autosomal recessive inheritance. It shows three generations. In the first generation, two unaffected individuals (squares and circles) have children. In the second generation, some individuals are affected (shaded squares and circles). In the third generation, affected individuals are shown, demonstrating how the trait can skip generations.
BIO0078	Die Stammbaumanlage beim Albinismus	 A pedigree chart showing the inheritance of albinism. It depicts a family across three generations. Albinism is represented by shaded symbols. The chart shows how the trait is passed down through the family, including instances where it appears in every generation and where it skips a generation.
BIO0080	Vererbung der Blütenfarbe bei der japanischen Wunderblume	 A genetic cross diagram for the Japanese morning glory. It shows a cross between a red-flowered plant and a white-flowered plant. The F1 generation consists of all pink-flowered plants. A cross between two F1 plants results in an F2 generation with a 1:2:1 phenotypic ratio of red, pink, and white flowers.
BIO0092	Chromosomen mit je zwei Chromatiden	 A micrograph showing several chromosomes. Each chromosome is clearly visible as a single structure composed of two sister chromatids joined at a central point (the centromere).

Signatur	Titel	Bild
BIO0093	Autosomal-dominanter Erbgang	
BIO0113	Erbgang -X- Chromosomal - Rezessiv (Stammbaum)	
BIO0114	Erbgang -X- Chromosomal - Dominant (Stammbaum)	
BIO0137	Cross-Over in der Prophase der ersten Reifeteilung	
BIO0142	Modell der Ein-Gen-ein-Enzym-Hypothese	
BIO0159	Mitose (Kernteilung)	
BIO0162	Ergebnisse aus der Kreuzung zweier reinerbiger Mäuse	

Signatur	Titel	Bild
BIO0183	Die zeitliche Folge der Genaktivität	
BIO0186	Versuch von Meselson und Stahl	
BIO0187	Regelung der Gentätigkeit durch Induktion/Endprodukt/Repressor	
BIO0223	Meiose Phasen	
BIO0232	Dihybrider Erbgang bei der Fruchtfliege <i>Drosophila melanogaster</i>	
BIO0252	Doppelhelix der DNA	

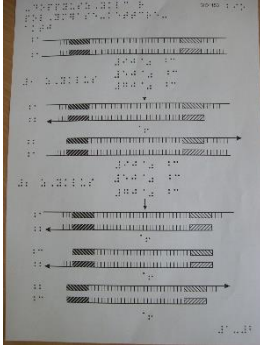
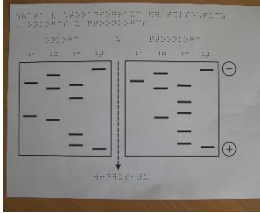
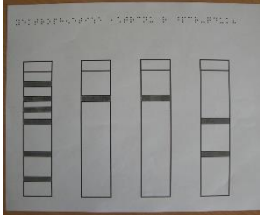
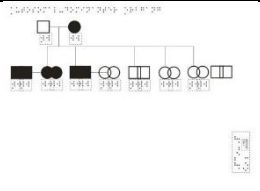
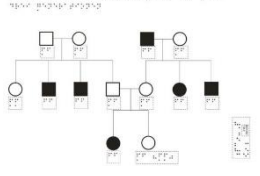
Signatur	Titel	Bild
BIO0422	Blutgruppenbestimmung	
BIO0502	x-chromosomale Vererbung (Bluterstammbaum)	
BIO0503	Intermediärer Erbgang (Blütenfarbe)	
BIO0504	Dominant-rezessiver Erbgang (1.u.2. Mendelsche Regel)	
BIO0505	Dihybrider Erbgang (Kreuzungsschema, Kombinationsquadrat) 3. Mendelsche Regel	
BIO0521	Koppelung und Entkoppelung der Gene (1+2+3)	
BIO0554	Vererbung bei Kurzsichtigkeit	

Signatur	Titel	Bild
BIO1000	Struktur und Bausteine der DNA und identische Replikation	
BIO1012	Erbgang der Kurzfingerigkeit	
BIO1013	Erbgang bei Albinismus	
BIO1016	Stammbaum einer Familie mit Brachydaktylie (Ausschnitt)	
BIO1017	Symbole im Familienstammbaum	
BIO1018	Stammbaum einer Familie mit Phenylketonurie	
BIO1019	Hämophilie A in europäischen Fürstenhäusern	
BIO1020	Modellstammbaum für den x-chromosomal-rezessiven Erbgang	

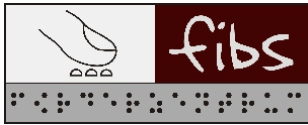
Signatur	Titel	Bild
BIO1021	Stammbaum einer Familie mit Vitamin-D-resistenter Rachitis	
BIO1022	Mutationen und Mutagenen	
BIO1023	Spleißen. DNA-mRNA-Hybridisierung bei β -Globin (Schema)	
BIO1025	Schema der Puffbildung	
BIO1026	Puffmuster während der Verpuffung	
BIO1027	Kontrollmöglichkeiten der Genexpression	

Signatur	Titel	Bild
BIO1055	Zentrale Stellung des Ribosoms bei der Proteinbiosynthese	
BIO1107	Schmelzkurve der DNA	
BIO1108	Denkbare Mechanismen der DNA	
BIO1112	Numerische Chromosomenanomalien als Folge von Nondisjunction während der Meiose	
BIO1113	Entstehung der Translokations-Trisomie 21	
BIO1114	Bluterkrankheit im europäischen Adel	

Signatur	Titel	Bild
BIO1115	Nachweis des Kopplungsbruchs beim Menschen	
BIO1116	Häufigkeit der Trisomie 21 in Abhängigkeit vom Alter der Mutter	
BIO1150	Erbgang: Chorea Huntington (Stammbaum)	
BIO1151	PCR-Methode (Schema)	
BIO1152	Die Polymerase-Kettenreaktion	

Signatur	Titel	Bild
BIO1153	Verdoppelungszyklen der Polymeren-Kettenreaktion	
BIO1154	Schema von Autoradiogramm einer Teilsequenz des Onkogens und Protoonkogens	
BIO1179	Elektrophoretische Auftrennung der PCR-Produkte	
BIO1180	Der genetische Fingerabdruck als Vaterschaftsnachweis	
BIO1181	Analyse eines dominanten Merkmales über drei Generationen	
BIO1182	Analyse eines rezessiven Merkmales über drei Generationen	

Signatur	Titel	Bild
BIO1183	Autosomal-dominanter Erbgang	
BIO1184	Erbgang Mukoviszidose	
BIO1185	Monogene Erbkrankheit	
BIO1186	Blutgruppen Elterngeneration	
BIO1187	Erblicher Defekt im Reparatursystem der DNA	
BIO1188	Rotgrün-Farbsehschwäche und Nachtblindheit	



Signatur	Titel	Bild
BIO1189	Klonierung von DNA-Fragmenten	